

# Trouver un vecteur le plus court dans un réseau euclidien

Damien STEHLÉ

<http://perso.ens-lyon.fr/damien.stehle>

Travail en commun avec Guillaume HANROT (INRIA Lorraine)

CNRS/LIP/INRIA/ÉNS Lyon/Université de Lyon

# Plan de l'exposé

- Les réseaux et le problème du plus court vecteur

# Plan de l'exposé

- Les réseaux et le problème du plus court vecteur
- La cryptographie reposant sur les réseaux

# Plan de l'exposé

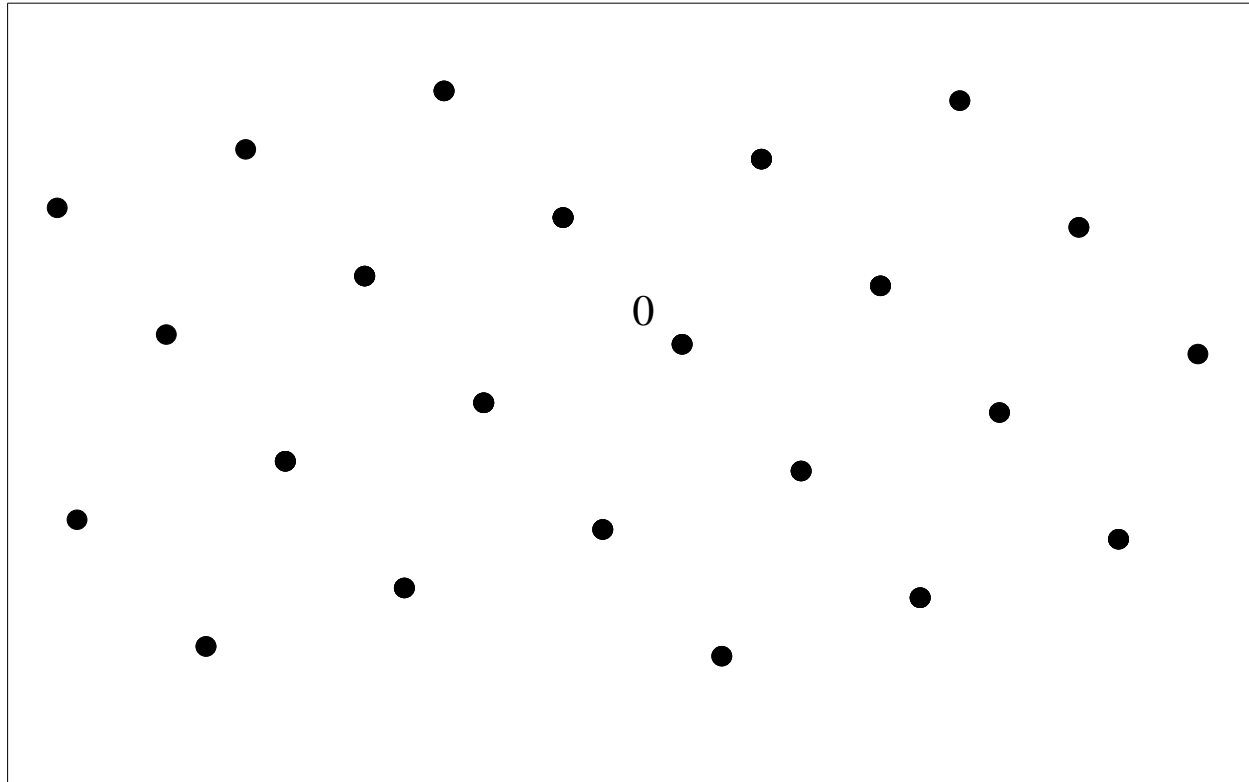
- Les réseaux et le problème du plus court vecteur
- La cryptographie reposant sur les réseaux
- L'algorithme d'énumération de vecteurs courts

# Plan de l'exposé

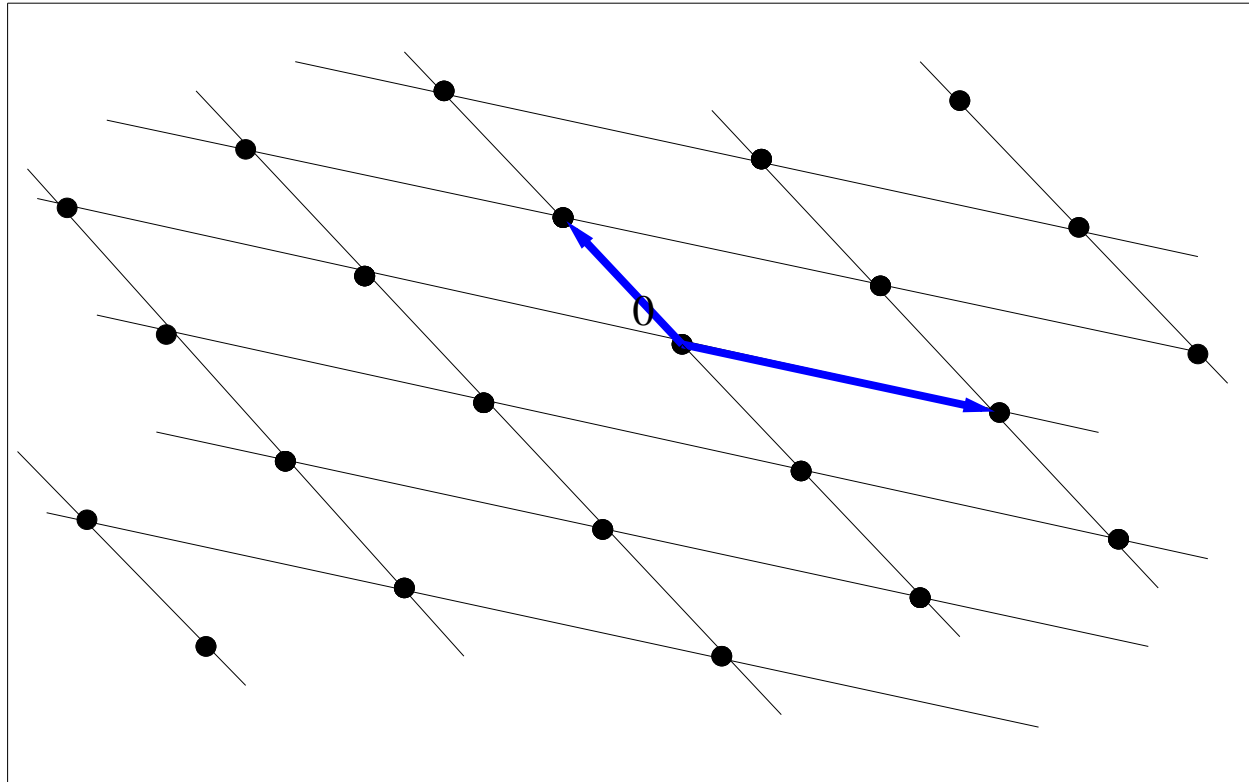
- Les réseaux et le problème du plus court vecteur
- La cryptographie reposant sur les réseaux
- L'algorithme d'énumération de vecteurs courts
- Complexité de la résolution du problème du plus court vecteur (bornes inférieures et supérieures)

# 1) Les réseaux et le problème du plus court vecteur

# Un réseau est une grille infinie

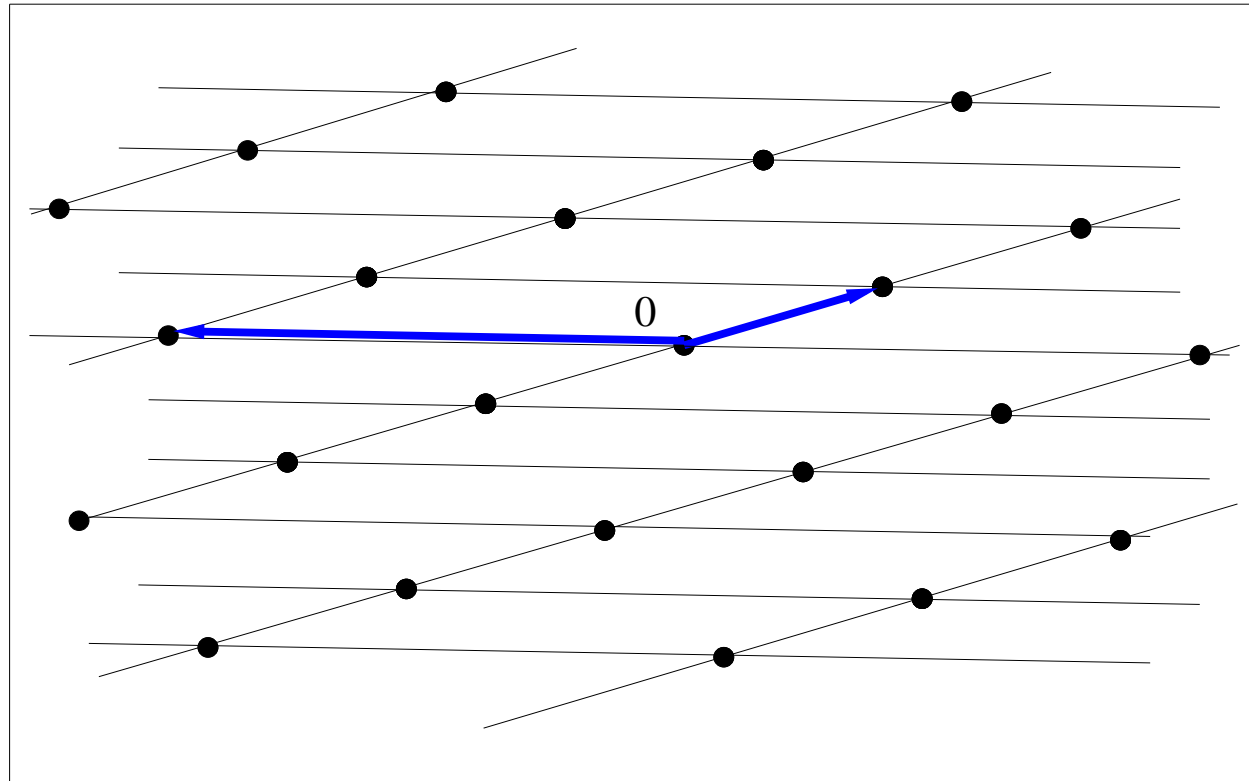


# On le représente par une base



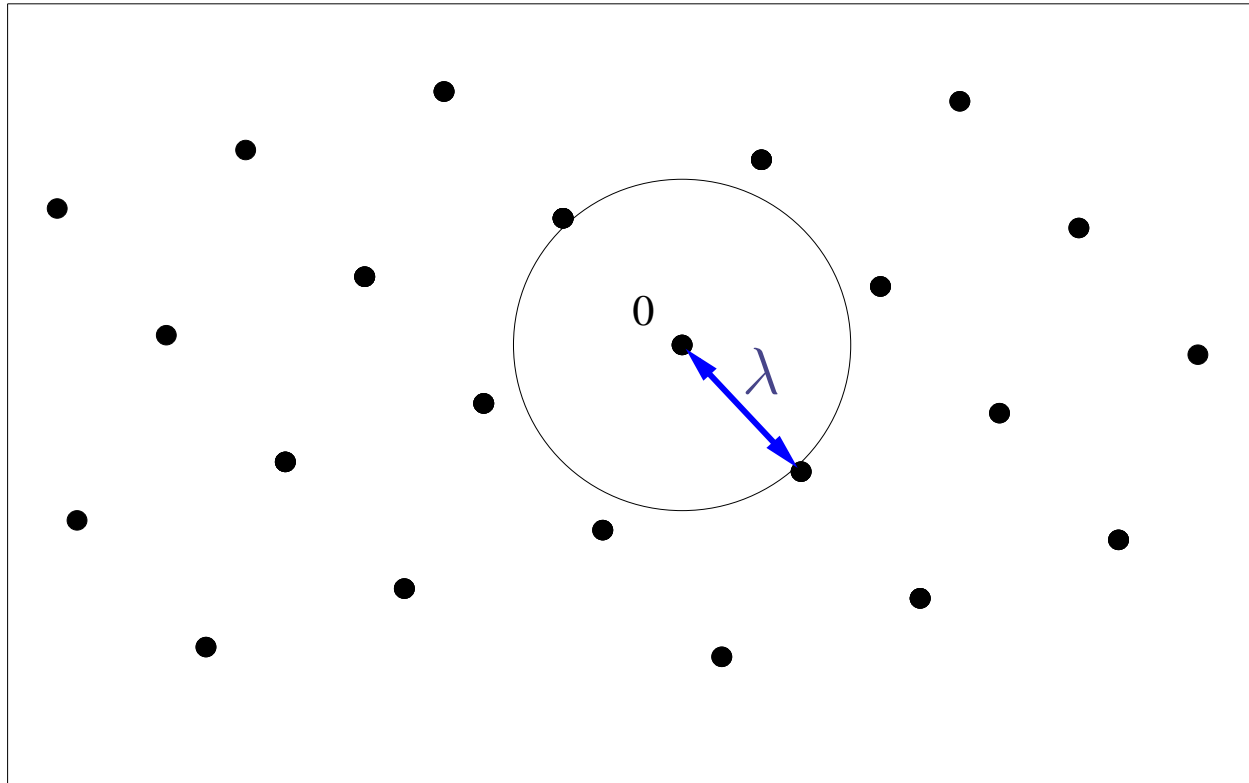


# Il n'y a pas unicité ...



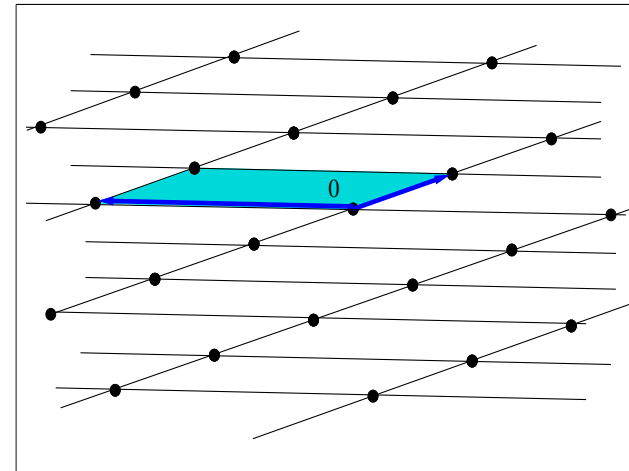
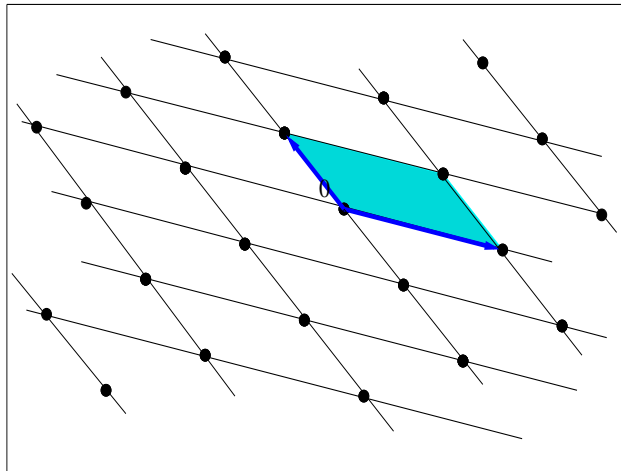
# Le premier minimum

Longueur d'un plus petit vecteur non nul.



# Le volume

$\det(L) = \text{vol}(L)$  : volume  $d$ -dimensionnel de tout parallélépipède fondamental.



# Les réseaux euclidiens

- **Réseau** = sous-groupe discret de  $\mathbb{R}^n$ :

$$L[\mathbf{b}_1, \dots, \mathbf{b}_d] = \left\{ \sum_{i=1}^d x_i \mathbf{b}_i, x_i \in \mathbb{Z} \right\}$$

- Si les  $\mathbf{b}_i$  sont indépendants sur  $\mathbb{R}$ , ils forment une **base**.
- **Dimension** =  $d$ .
- **Minimum** = Longueur minimale d'un vecteur non-nul.
- **Déterminant** =  $\det(L)$  = Volume du parallélépipède engendré par une base quelconque.
- Les bases sont liées entre elles par des **transformations unimodulaires** (entières de déterminant  $\pm 1$ ).

**SVP** : Étant donnée une base d'un réseau, trouver un vecteur non-nul le plus court.

- Conjecturé NP-difficile par van Emde Boas en 1982.
- Prouvé NP-difficile sous des réductions randomisées par Ajtai en 1997.
- Théorème de Minkowski :

$$\exists \mathbf{b} \in L \setminus \{\mathbf{0}\}, \quad \|\mathbf{b}\| \leq \sqrt{d} \cdot \det(L)^{1/d}.$$

# Réduction : un problème de représentation

Trouver une “bonne” base à partir d’une base quelconque.

# Réduction : un problème de représentation

Trouver une “bonne” base à partir d’une base quelconque.

- **LLL** : Lenstra, Lenstra et Lovász 1982.  
Fournit un vecteur **relativement court**.  
En **temps polynomial**.

# Réduction : un problème de représentation

Trouver une “bonne” base à partir d’une base quelconque.

- **LLL** : Lenstra, Lenstra et Lovász 1982.  
Fournit un vecteur **relativement court**.  
En **temps polynomial**.
- **HKZ** : Hermite, Korkine et Zolotarev.  
Le premier vecteur **atteint le minimum**,  
et orthogonalement à ce dernier, la base  
est HKZ-réduite.  
Coûte un **temps exponentiel**.



# Algorithmes résolvant SVP

- Fincke-Pohst ('83) : énumération de points à coordonnées entières dans des **hyper-ellipsoïdes** après une **LLL-réduction** .
- Kannan ('83), Helfrich ('85) : énumération dans des **hyper-parallélépipèdes** après une **quasi-HKZ-réduction**.
- Ajtai-Kumar-Sivakumar ('01) : repose essentiellement sur le principe des tiroirs.

# Algorithmes résolvant SVP

	FP	KH	AKS
	déterministe	déterministe	probabiliste
Temps	$\left(2^{O(d^2)}\right)$	$d^{d/2}$	$2^{O(d)}$
Espace	polynomial	polynomial	$2^{O(d)}$

Comportement pratique de AKS étudié par Nguyen et Vidick (J. of Math. Crypto, 2008).

La constante du  $O(\cdot)$  est relativement petite.

Ici : On va étudier précisément la complexité de KH.

## 2) Motivations cryptographiques

# Les deux facettes des réseaux en crypto

[voir Nguyen-Stern, Calc'01]

- Cryptanalyse:
  - Depuis le début des années 1980.
  - Sacs-à-dos, générateurs pseudo-aléatoires, variantes de RSA, ...
  - Ces attaques reposent le plus souvent sur LLL.
- Cryptosystèmes:
  - Depuis le milieu des années 1990, après les résultats d'Ajtai sur la complexité de SVP.
  - Ajtai-Dwork, GGH, NTRU, ...
  - LLL ne suffit pas pour les casser.

• Clé publique =  $B =$  
$$\left[ \begin{array}{cccc|cccc} 1 & 0 & \dots & 0 & h_1 & h_2 & \dots & h_N \\ 0 & 1 & \dots & 0 & h_N & h_1 & \dots & h_{N-1} \\ \vdots & \vdots & \dots & \vdots & \vdots & \vdots & \dots & \vdots \\ 0 & 0 & \dots & 1 & h_2 & h_3 & \dots & h_1 \\ \hline 0 & 0 & \dots & 0 & q & 0 & \dots & 0 \\ 0 & 0 & \dots & 0 & 0 & q & \dots & 0 \\ \vdots & \vdots & \dots & \vdots & \vdots & \vdots & \dots & \vdots \\ 0 & 0 & \dots & 0 & 0 & 0 & \dots & q \end{array} \right].$$

• Clé publique =  $B =$  
$$\left[ \begin{array}{cccc|cccc} 1 & 0 & \dots & 0 & h_1 & h_2 & \dots & h_N \\ 0 & 1 & \dots & 0 & h_N & h_1 & \dots & h_{N-1} \\ \vdots & \vdots & \dots & \vdots & \vdots & \vdots & \dots & \vdots \\ 0 & 0 & \dots & 1 & h_2 & h_3 & \dots & h_1 \\ \hline 0 & 0 & \dots & 0 & q & 0 & \dots & 0 \\ 0 & 0 & \dots & 0 & 0 & q & \dots & 0 \\ \vdots & \vdots & \dots & \vdots & \vdots & \vdots & \dots & \vdots \\ 0 & 0 & \dots & 0 & 0 & 0 & \dots & q \end{array} \right].$$

• Clé privée : excellente base du même réseau.

• Clé publique =  $B =$  
$$\left[ \begin{array}{cccc|cccc} 1 & 0 & \dots & 0 & h_1 & h_2 & \dots & h_N \\ 0 & 1 & \dots & 0 & h_N & h_1 & \dots & h_{N-1} \\ \vdots & \vdots & \dots & \vdots & \vdots & \vdots & \dots & \vdots \\ 0 & 0 & \dots & 1 & h_2 & h_3 & \dots & h_1 \\ \hline 0 & 0 & \dots & 0 & q & 0 & \dots & 0 \\ 0 & 0 & \dots & 0 & 0 & q & \dots & 0 \\ \vdots & \vdots & \dots & \vdots & \vdots & \vdots & \dots & \vdots \\ 0 & 0 & \dots & 0 & 0 & 0 & \dots & q \end{array} \right] .$$

- Clé privée : excellente base du même réseau.
- Chiffrement :  $m \rightarrow m \cdot B + e$ .

• Clé publique =  $B =$  
$$\left[ \begin{array}{cccc|cccc} 1 & 0 & \dots & 0 & h_1 & h_2 & \dots & h_N \\ 0 & 1 & \dots & 0 & h_N & h_1 & \dots & h_{N-1} \\ \vdots & \vdots & \dots & \vdots & \vdots & \vdots & \dots & \vdots \\ 0 & 0 & \dots & 1 & h_2 & h_3 & \dots & h_1 \\ \hline 0 & 0 & \dots & 0 & q & 0 & \dots & 0 \\ 0 & 0 & \dots & 0 & 0 & q & \dots & 0 \\ \vdots & \vdots & \dots & \vdots & \vdots & \vdots & \dots & \vdots \\ 0 & 0 & \dots & 0 & 0 & 0 & \dots & q \end{array} \right].$$

- Clé privée : excellente base du même réseau.
- Chiffrement :  $m \rightarrow m \cdot B + e$ .
- Déchiffrement : à l'aide de la bonne base, trouver  $b \in L$  proche de  $c$ . Si tout va bien,  $m = b \cdot B^{-1}$ .



[Lyubashevsky, Micciancio, Peikert et Rosen, FSE'08]

Fonction de hachage. Pour hacher  $\mathbf{x} \in \mathbb{Z}_d^{mn}$  :

$$\mathbf{x} \cdot \begin{pmatrix} A_1 \\ A_2 \\ \vdots \\ A_m \end{pmatrix} \in \mathbb{Z}_p^n, \text{ avec } A_i = \begin{pmatrix} a_0^{(i)} & a_1^{(i)} & \dots & a_{n-1}^{(i)} \\ -a_{n-1}^{(i)} & a_0^{(i)} & \dots & a_{n-2}^{(i)} \\ \vdots & \vdots & \ddots & \vdots \\ -a_1^{(i)} & -a_2^{(i)} & \dots & a_0^{(i)} \end{pmatrix}.$$

Les  $A_i$  et  $p$  sont publics. Trouver une collision est au moins aussi difficile qu'un certain problème sur les réseaux, dans le cas le pire.

# Comment casser SWIFFT

Il suffit de trouver un vecteur à coordonnées dans  $[-d + 1, d - 1]$  qui est dans le réseau engendré par les lignes d'une matrice  $mn \times mn$  du type :

$$\begin{pmatrix} G_1 & \text{Id}_n & 0 & \dots & 0 \\ G_2 & 0 & \text{Id}_n & \dots & 0 \\ \vdots & \vdots & \ddots & \ddots & \vdots \\ G_{m-1} & 0 & 0 & \dots & \text{Id}_n \\ p\text{Id}_n & 0 & 0 & \dots & 0 \end{pmatrix},$$

avec les  $G_i$  similaires aux  $A_i$ .

# Paramètres pratiques

- NTRU-251 :  $N = 251, q = 128$ .  
Dimension : 502.
- NTRU-503 :  $N = 503, q = 256$ .  
Dimension : 1006.
- SWIFFT-Mini :  $n = 128, m = 8, d = 3, p = 257$ .  
Dimension : 1024.

# Autres fonctions reposant sur les réseaux

- LASH : Hachage à l'aide des réseaux. Cassé par Contini, Matusiewicz, Pieprzyk et Steinfeld (FSE'08).
- NTRUSign.
- Gentry, Peikert, Vaikuntanathan (eprint 2007/432): “Hash-and-sign”, chiffrement reposant sur l'identité, etc.
- Aguilar-Melchor et Gaborit : PIR.

# Cryptanalyse de ces fonctions

- Les vecteurs intéressants sont si petits qu'ils sont difficiles à obtenir :

LLL ne suffit pas.

# Cryptanalyse de ces fonctions

- Les vecteurs intéressants sont si petits qu'ils sont difficiles à obtenir :

LLL ne suffit pas.

- Ils sont significativement plus courts que les autres :

HKZ est trop puissant.

# Cryptanalyse de ces fonctions

- Les vecteurs intéressants sont si petits qu'ils sont difficiles à obtenir :

LLL ne suffit pas.

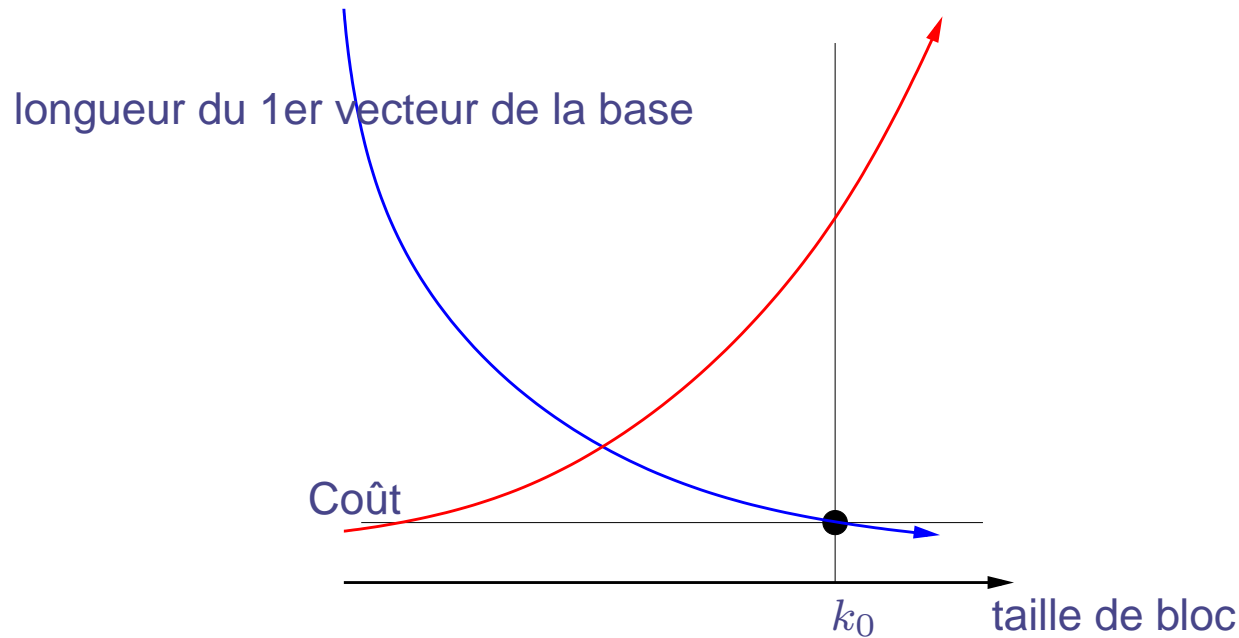
- Ils sont significativement plus courts que les autres :

HKZ est trop puissant.

- On utilise la **hiérarchie d'algorithmes de Schnorr** .
  - Ils travaillent sur des blocs plutôt que sur des vecteurs.
  - À l'intérieur des blocs, on résout des instances de SVP/HKZ.

# Hiérarchie de Schnorr

- Étant donné un réseau provenant de la cryptographie, quelle est la plus petite taille de bloc  $k_0$  qui fournit des vecteurs intéressants?



- La sécurité est donnée par  $k_0$ . Nombre polynomial de résolutions de HKZ/SVP en dimension  $k_0$ .
- Quelle est la plus grosse taille de bloc que l'on peut considérer en pratique ?



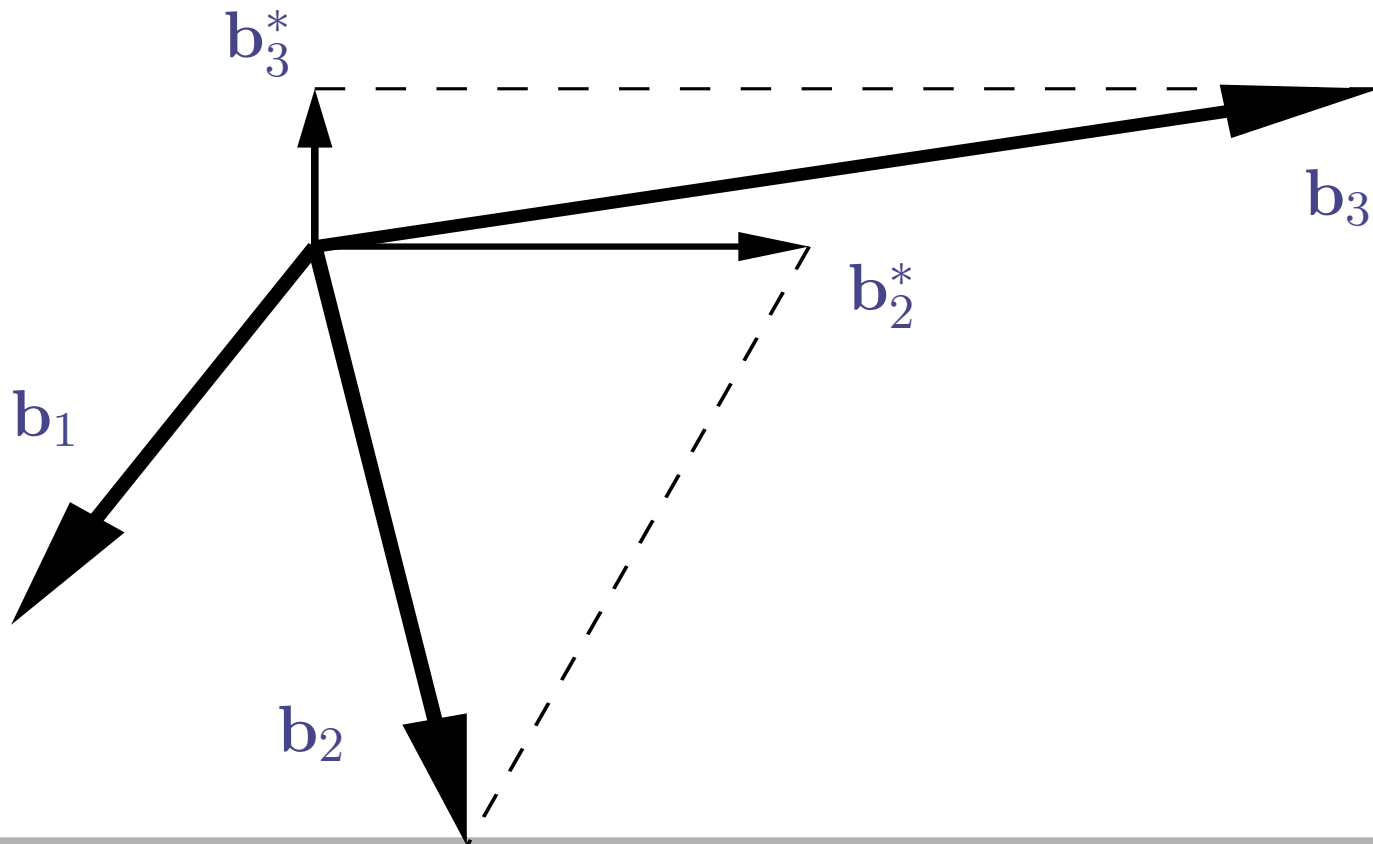
# Motivations non cryptographiques

- Théorie algorithmique des nombres : calculer le groupe des unités dans un corps de nombres.
- Géométrie des nombres : minimas, kissing number, séries thêta de réseaux, etc.
- Théorie des communications : décodage MIMO.

# 3) L'algorithme d'énumération de vecteurs courts

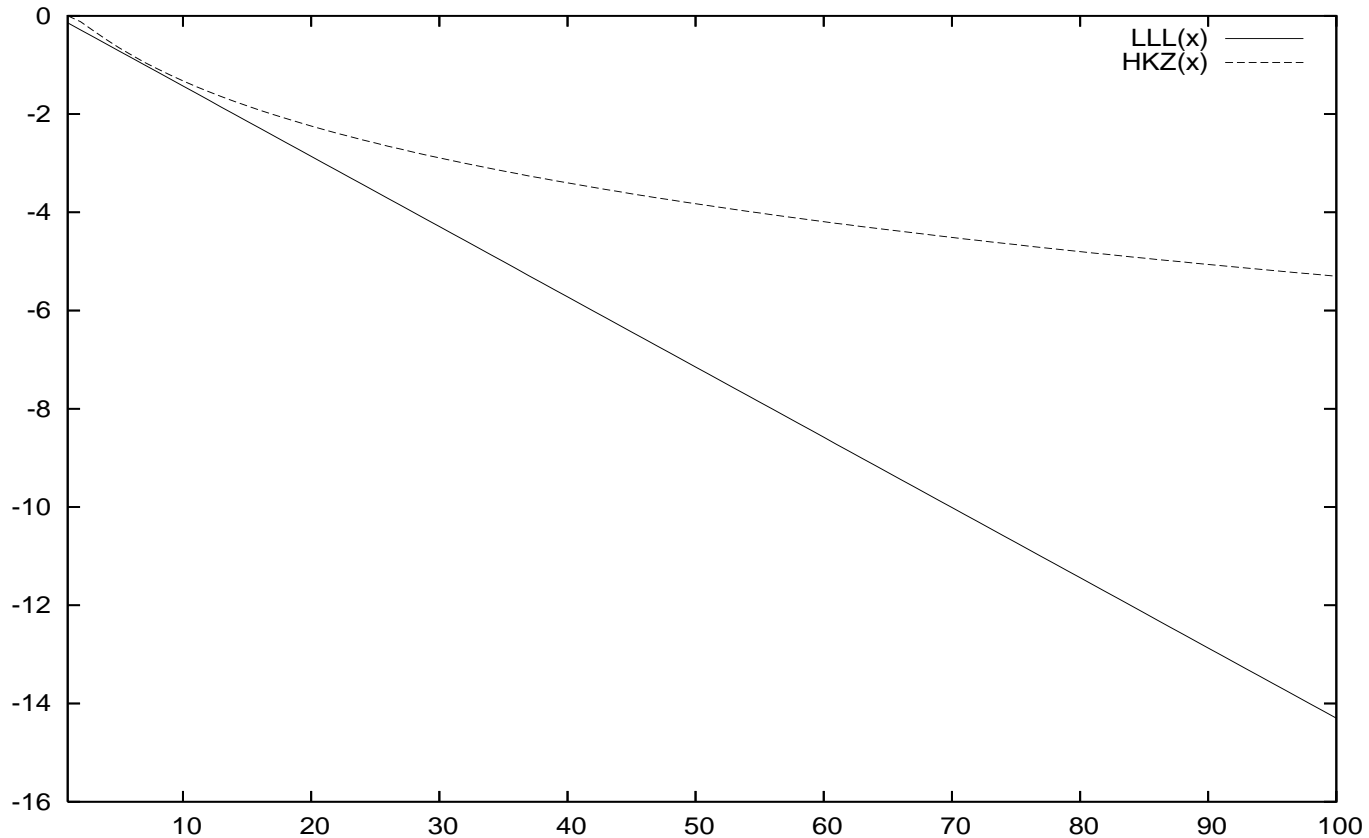
# L'orthogonalisation de Gram-Schmidt

- Procédé itératif pour orthogonaliser  $(\mathbf{b}_1, \dots, \mathbf{b}_d)$ .
- $\mathbf{b}_1^* = \mathbf{b}_1$ ,  $\mathbf{b}_i^* = \mathbf{b}_i - \sum_{j=1}^{i-1} \mu_{i,j} \mathbf{b}_j^*$ ,  $\mu_{i,j} = \frac{\langle \mathbf{b}_i, \mathbf{b}_j^* \rangle}{\|\mathbf{b}_j^*\|^2}$ .
- $\det(L[\mathbf{b}_i]) = \prod \|\mathbf{b}_i^*\|$ .



# Quantifier la qualité d'une base

Moins les  $\|b_i^*\|$  décroissent, plus la base est orthogonale.



Courbes bornant les cas le pire de  $\ln \|b_i^*\|$ .

# Le principe de l'énumération

Étant donnés  $\mathbf{b}_1, \dots, \mathbf{b}_d$ , on cherche les  $x_i \in \mathbb{Z}$  tels que :

$$\|x_1 \mathbf{b}_1 + \dots + x_d \mathbf{b}_d\|^2 = \sum_i (x_i + \sum_{j>i} \mu_{j,i} x_j)^2 \|\mathbf{b}_i^*\|^2 \leq \|\mathbf{b}_1\|^2$$

# Le principe de l'énumération

Étant donnés  $\mathbf{b}_1, \dots, \mathbf{b}_d$ , on cherche les  $x_i \in \mathbb{Z}$  tels que :

$$\|x_1 \mathbf{b}_1 + \dots + x_d \mathbf{b}_d\|^2 = \sum_i (x_i + \sum_{j>i} \mu_{j,i} x_j)^2 \|\mathbf{b}_i^*\|^2 \leq \|\mathbf{b}_1\|^2$$

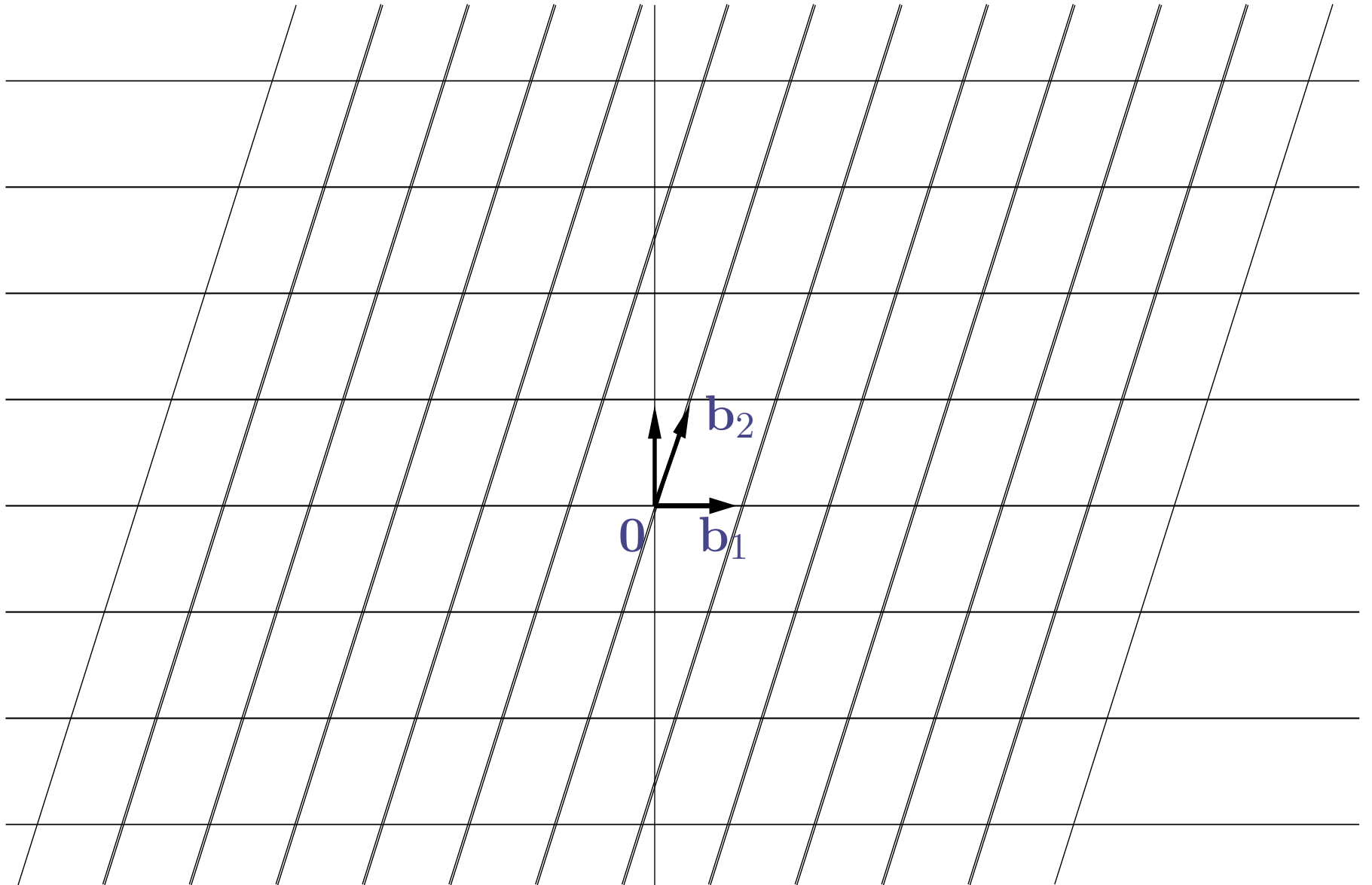
En regardant les composantes sur les  $\mathbf{b}_i^*$  :

$$\begin{aligned} x_d^2 \|\mathbf{b}_d^*\|^2 &\leq \|\mathbf{b}_1\|^2 \\ (x_{d-1} + \mu_{d,d-1} x_d)^2 \|\mathbf{b}_{d-1}^*\|^2 + x_d^2 \|\mathbf{b}_d^*\|^2 &\leq \|\mathbf{b}_1\|^2 \\ &\dots \\ \sum_{j \geq i} (x_j + \sum_{k>j} \mu_{k,j} x_k)^2 \|\mathbf{b}_j^*\|^2 &\leq \|\mathbf{b}_1\|^2 \end{aligned}$$

# Trois interprétations

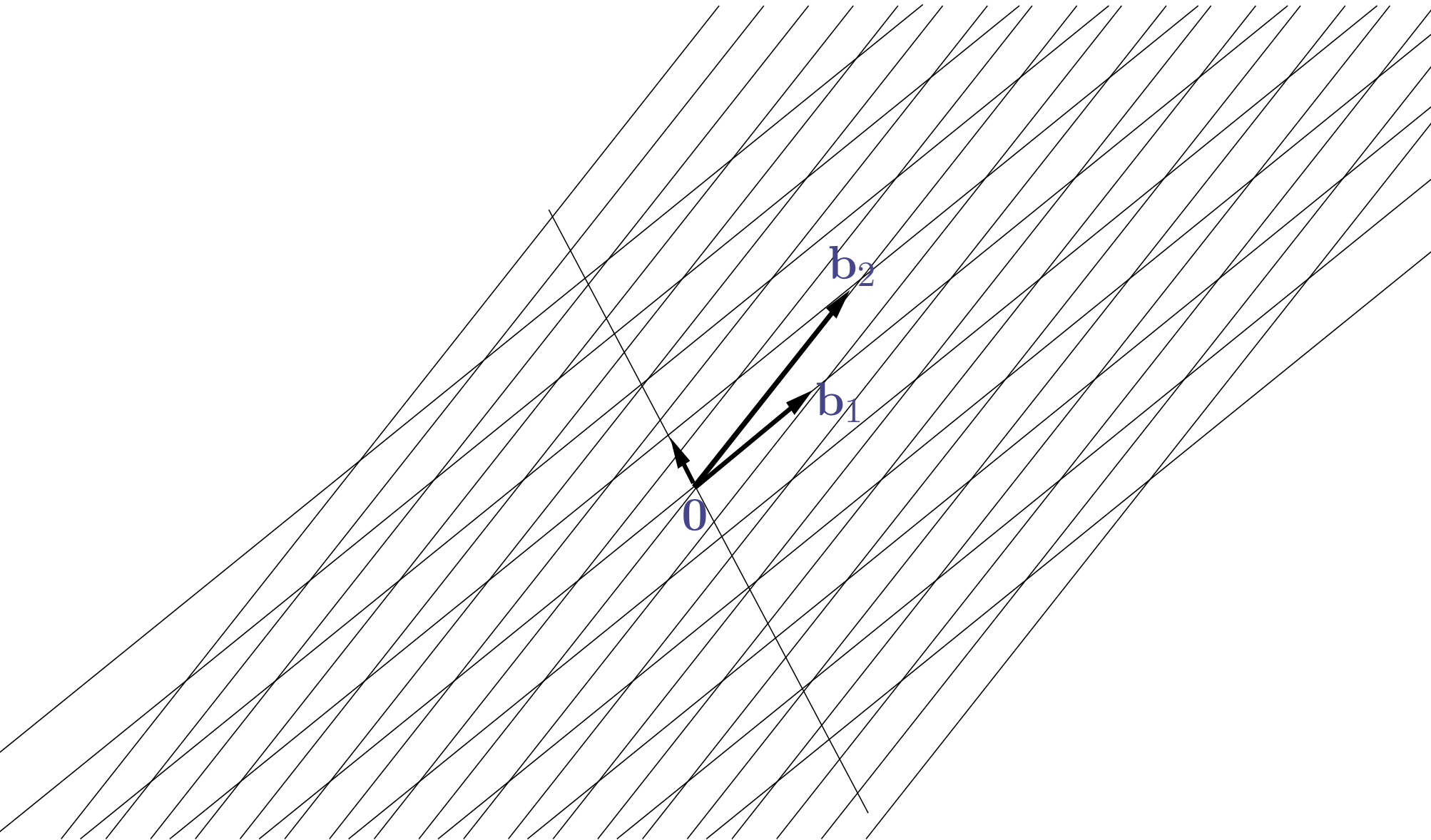
- Des points du réseau dans des hyper-boules.
- Des points entiers dans des hyper-ellipsoïdes.
- Un parcours d'arbre.

# Le principe de Kannan : pré-processer

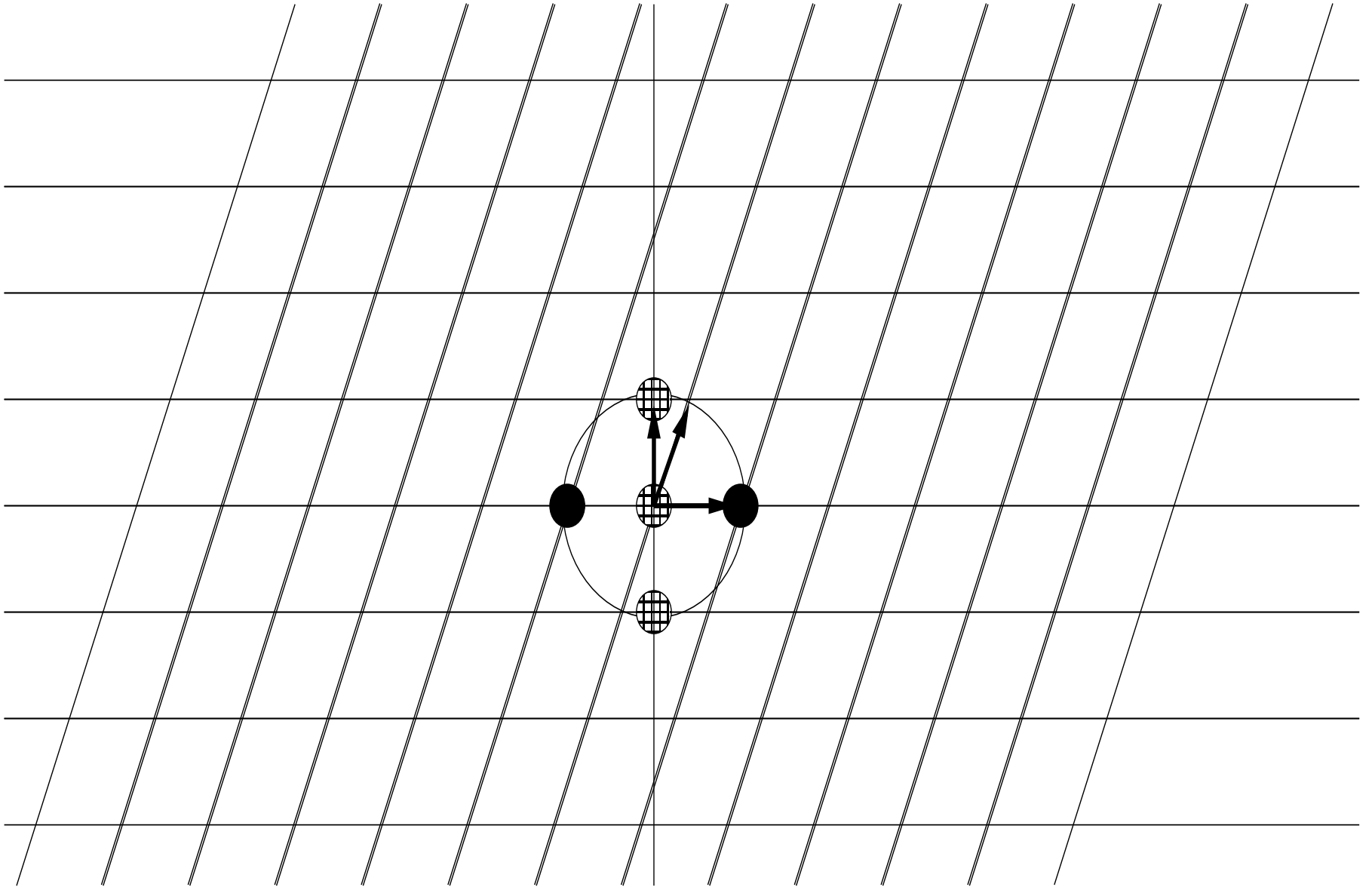




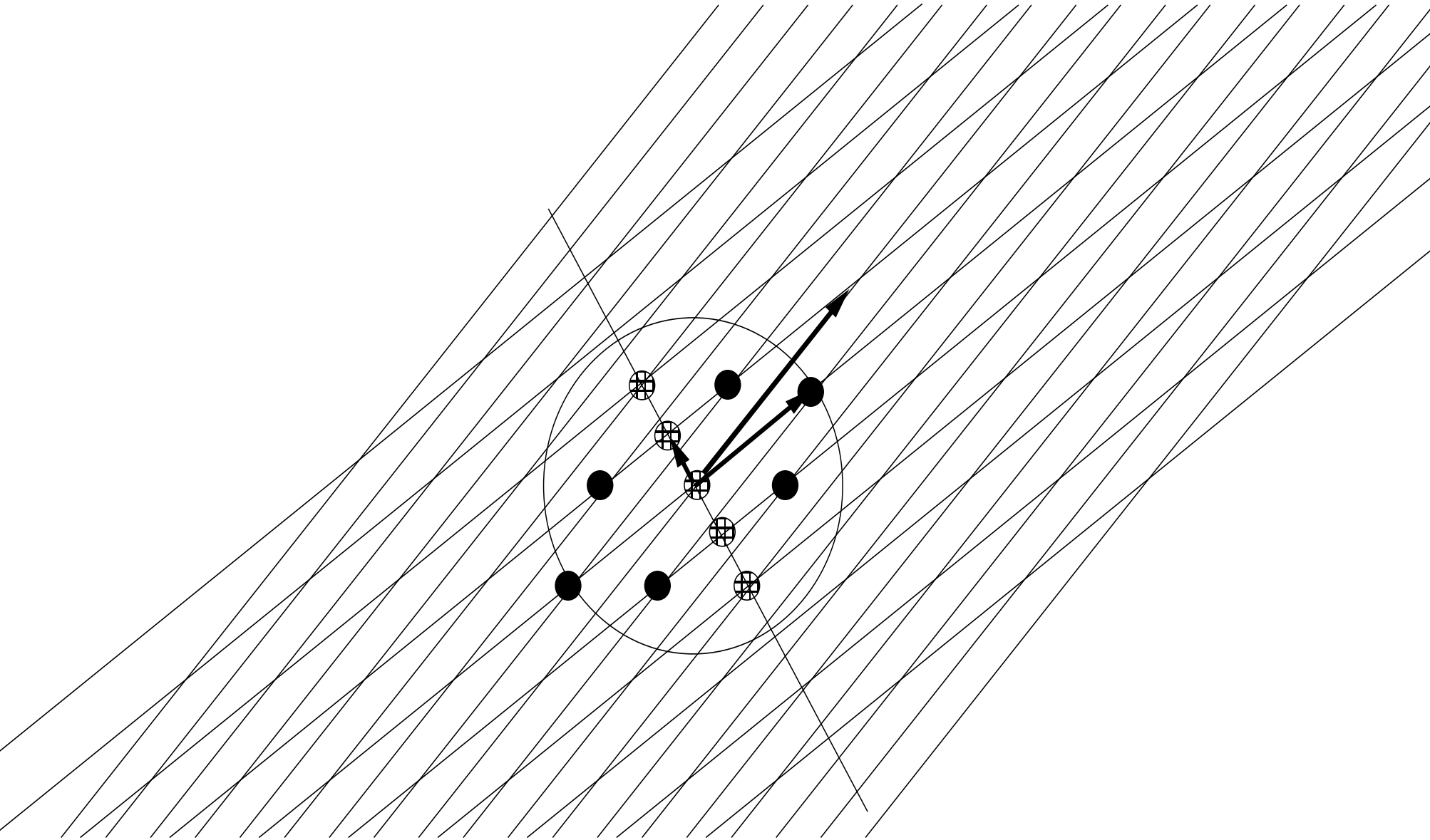
# Le principe de Kannan : pré-procasser



# Le principe de Kannan : pré-procasser



# Le principe de Kannan : pré-procasser



## 4) Nouveaux résultats

- Improved analysis of Kannan's shortest lattice vector algorithm, Crypto 2007, avec G. Hanrot.
- Worst-case Hermite-Korkine-Zolotarev Reduced Lattice Bases, 2008, avec G. Hanrot.

# Résumé des résultats

1. Meilleure borne supérieure du coût de l'algorithme de Kannan pour SVP:

$$d^{\frac{d}{2}} \longrightarrow d^{\frac{d}{2e}} \approx d^{0.182 \cdot d}.$$

2. Construction probabiliste de bases pour lesquelles l'algorithme va avoir ce temps d'exécution.

# Résumé des résultats

1. Meilleure borne supérieure du coût de l'algorithme de Kannan pour SVP:

$$d^{\frac{d}{2}} \longrightarrow d^{\frac{d}{2e}} \approx d^{0.182 \cdot d}.$$

2. Construction probabiliste de bases pour lesquelles l'algorithme va avoir ce temps d'exécution.
3. Estimation efficace et a priori du coût d'une instance.

# Résumé des résultats

1. Meilleure borne supérieure du coût de l'algorithme de Kannan pour SVP:

$$d^{\frac{d}{2}} \longrightarrow d^{\frac{d}{2e}} \approx d^{0.182 \cdot d}.$$

2. Construction probabiliste de bases pour lesquelles l'algorithme va avoir ce temps d'exécution.
3. Estimation efficace et a priori du coût d'une instance.
4. Meilleure borne supérieure du coût de l'algorithme de Kannan pour CVP:

$$d^d \longrightarrow d^{\frac{d}{2}}.$$

5. Des mauvaises bases pour la hiérarchie de Schnorr.

# Le coût de l'algorithme de Kannan

- L'énumération domine.
- Le coût de l'étage  $i + 1$  est essentiellement le nombre de solutions entières de :

$$\sum_{j \geq i} (x_j + \sum_{k > j} \mu_{k,j} x_k)^2 \|\mathbf{b}_j^*\|^2 \leq \|\mathbf{b}_1\|^2$$

- Nombre de points entiers dans un ellipsoïde  
⇒ volume de l'ellipsoïde :

$$\approx \frac{\|\mathbf{b}_1\|^{d-i}}{\sqrt{d-i}^{d-i} \prod_{j>i} \|\mathbf{b}_j^*\|}$$



# Le coût de l'algorithme de Kannan

- On part d'une base quasiment HKZ-réduite, donc :

$$\begin{aligned}\|\mathbf{b}_1\| &\lesssim \sqrt{d}(\prod_{j=1}^d \|\mathbf{b}_j^*\|)^{1/d} \\ \|\mathbf{b}_2^*\| &\lesssim \sqrt{d}(\prod_{j=2}^d \|\mathbf{b}_j^*\|)^{1/(d-1)} \\ \|\mathbf{b}_i^*\| &\lesssim \sqrt{d}(\prod_{j=i}^d \|\mathbf{b}_j^*\|)^{1/(d-i+1)}\end{aligned}$$

- Cela implique que  $\|\mathbf{b}_1\|^{d-i} \leq \sqrt{d}^{(d-i)(1+\log \frac{d}{d-i})} \prod_{j>i} \|\mathbf{b}_j^*\|$ .
- La complexité est :

$$\lesssim \max_i \frac{\|\mathbf{b}_1\|^{d-i}}{\sqrt{d-i}^{d-i} \prod_{j>i} \|\mathbf{b}_j^*\|} \lesssim \max_i \sqrt{d}^{(d-i) \log \frac{d}{d-i}} \lesssim \sqrt{d}^d.$$

# Et de manière rigoureuse...

- Le nombre de points entiers n'est pas toujours le volume, en particulier quand il y a de "gros"  $\|b_i^*\|$ .
- Besoin de propriétés plus fines sur les bases HKZ-réduites.
- Analyse amortie.

# Timings (en secondes, Pentium (R) 3.0 GHz)

pre-processing	$d = 40$	$d = 46$	$d = 52$	$d = 58$
LLL	1.8	110	$5.0 \cdot 10^3$	—
BKZ <sub>10</sub>	0.36	6.7	160	—
BKZ <sub>20</sub>	0.40	4.7	96	$2.5 \cdot 10^3$
BKZ <sub>30</sub>	0.57	5.2	68	$1.6 \cdot 10^3$

# Timings (en secondes, Pentium (R) 3.0 GHz)

pre-processing	$d = 40$	$d = 46$	$d = 52$	$d = 58$
LLL	1.8	110	$5.0 \cdot 10^3$	—
BKZ <sub>10</sub>	0.36	6.7	160	—
BKZ <sub>20</sub>	0.40	4.7	96	$2.5 \cdot 10^3$
BKZ <sub>30</sub>	0.57	5.2	68	$1.6 \cdot 10^3$

- Record actuel : dimension 75 en  $\approx$  15 heures.

# Timings (en secondes, Pentium (R) 3.0 GHz)

pre-processing	$d = 40$	$d = 46$	$d = 52$	$d = 58$
LLL	1.8	110	$5.0 \cdot 10^3$	—
BKZ <sub>10</sub>	0.36	6.7	160	—
BKZ <sub>20</sub>	0.40	4.7	96	$2.5 \cdot 10^3$
BKZ <sub>30</sub>	0.57	5.2	68	$1.6 \cdot 10^3$

- Record actuel : dimension 75 en  $\approx$  15 heures.
- On peut s'attendre à ce que les instances apparaissant dans la hiérarchie de Schnorr soient plus faciles.

# Timings (en secondes, Pentium (R) 3.0 GHz)

pre-processing	$d = 40$	$d = 46$	$d = 52$	$d = 58$
LLL	1.8	110	$5.0 \cdot 10^3$	—
BKZ <sub>10</sub>	0.36	6.7	160	—
BKZ <sub>20</sub>	0.40	4.7	96	$2.5 \cdot 10^3$
BKZ <sub>30</sub>	0.57	5.2	68	$1.6 \cdot 10^3$

- Record actuel : dimension 75 en  $\approx$  15 heures.
- On peut s'attendre à ce que les instances apparaissant dans la hiérarchie de Schnorr soient plus faciles.
- C'est nettement au-delà des tailles de blocs utilisées dans toutes les attaques effectuées contre NTRU.

# Borne inférieure : la génération d'Ajtai

- Une base est **HKZ-réduite** si pour tout  $i < d$ ,  $\mathbf{b}_i^*$  est un plus court vecteur de  $L[\mathbf{b}_i^*, \dots, \mathbf{b}_d^{\perp 1, \dots, i-1}]$ . Ou encore :

$$\forall i < j, x_j \neq 0 \implies \left\| \sum_{k \in [i, j]} x_k \mathbf{b}_k^{\perp 1, \dots, i-1} \right\| \geq \|\mathbf{b}_i^*\|.$$

- On fixe  $\|\mathbf{b}_i^*\| = f_d(i)$  for  $i \leq d$  et on génère les  $\mu_{i,j}$  uniformément et indépendamment dans  $[-1/2, 1/2]$ .
- Quelle est la probabilité que ces  $\frac{d(d-1)}{2}$  conditions soient satisfaites simultanément?

# Les conditions primaires

- Pour une base HKZ-réduite :

$$\|\mathbf{b}_i^*\| \leq \sqrt{d - i + 1} \left( \prod_{j \geq i} \|\mathbf{b}_j^*\| \right)^{\frac{1}{d-i+1}} .$$



# Les conditions primaires

- Pour une base HKZ-réduite :

$$\|\mathbf{b}_i^*\| \leq \sqrt{d - i + 1} \left( \prod_{j \geq i} \|\mathbf{b}_j^*\| \right)^{\frac{1}{d - i + 1}} .$$

- Ces conditions, avec l'égalité, définissent la fonction  $f$ .  
Pour obtenir une probabilité  $> 0$ , il suffit de les renforcer d'un facteur constant.

# Les conditions primaires

- Pour une base HKZ-réduite :

$$\|\mathbf{b}_i^*\| \leq \sqrt{d - i + 1} \left( \prod_{j \geq i} \|\mathbf{b}_j^*\| \right)^{\frac{1}{d - i + 1}} .$$

- Ces conditions, avec l'égalité, définissent la fonction  $f$ . Pour obtenir une probabilité  $> 0$ , il suffit de les renforcer d'un facteur constant.
- On peut montrer que l'algorithme de Kannan fera au moins  $d^{\frac{d}{2e}}$  opérations sur les bases générées, avec probabilité  $> 0$ .

# Travail en cours, problèmes ouverts

# Travail en cours, problèmes ouverts

- Utilisation rigoureuse de l'arithmétique flottante dans l'orthogonalisation de Gram-Schmidt.

# Travail en cours, problèmes ouverts

- Utilisation rigoureuse de l'arithmétique flottante dans l'orthogonalisation de Gram-Schmidt.
- Une implantation efficace de l'énumération.

# Travail en cours, problèmes ouverts

- Utilisation rigoureuse de l'arithmétique flottante dans l'orthogonalisation de Gram-Schmidt.
- Une implantation efficace de l'énumération.
- Simplifier et améliorer la hiérarchie de Schnorr.

# Travail en cours, problèmes ouverts

- Utilisation rigoureuse de l'arithmétique flottante dans l'orthogonalisation de Gram-Schmidt.
- Une implantation efficace de l'énumération.
- Simplifier et améliorer la hiérarchie de Schnorr.
- De réelles attaques contre NTRU et SWIFFT, pour en mesurer la sécurité pratique.

# Travail en cours, problèmes ouverts

- Utilisation rigoureuse de l'arithmétique flottante dans l'orthogonalisation de Gram-Schmidt.
- Une implantation efficace de l'énumération.
- Simplifier et améliorer la hiérarchie de Schnorr.
- De réelles attaques contre NTRU et SWIFFT, pour en mesurer la sécurité pratique.
- Comment exploiter le résultat de borne inférieure?